

繰返し大型三軸試験による粗粒材の弾性変形特性

東京大学生産技術研究所 学生会員 蒋閔魯

東京大学生産技術研究所 正員 龍岡文夫・佐藤剛司・古関潤一

1. はじめに：筆者らはこれまで、粗粒材の三軸試験において局所変形測定装置（LDT）を用いて、ベッディングエラーの影響を含まない変形特性を測定し、その応力状態の依存性を検討してきた¹⁾。その結果、粗粒材の弾性ヤング率（等価ヤング率 E_{eq} ）は最大主応力 σ_1 に直接依存することが分かった。しかし、等方応力状態から破壊に至るまでの過程において、せん断に伴う構造の変化あるいは初期構造の損傷（damage）による E_{eq} の減少が生じ、その減少率は三軸圧縮の場合よりも三軸伸張の場合の方が大きい²⁾。今回、等方圧密試験と側圧一定の状態での三軸繰返し試験を行い、その途中で微小な繰返し載荷により E_{eq} を測定し、 E_{eq} の σ_1 依存性・そのせん断レベル(q/q_{max})依存性を検討した。

2. 試験の概要：供試体は、高さ57cm、幅23cm、幅23cmの直方体である（図1）。試料は粒子が球形に近い碎石で、最大粒径は3.8mm、平均粒径は3.5mmである。供試体は、14層に分けてバイブレータを用いて作成した。メンブレンの厚さは2.0mmである。供試体の上下端面はろ紙でキャップ及びペデスタルと接している。等方圧密と三軸試験では、軸ひずみ速度は約0.1%/分である。微小繰返し試験では、正弦波を用いて、1.0波載荷（周期10秒）を行った。

3. 試験結果及び考察：微小繰返し試験では、生じる繰返し軸ひずみ片振幅 $d\varepsilon_{SA}$ が 10^{-5} よりも、大きくなることがある。そこで σ_h が一定の繰返し三軸試験で得られた $E_{eq}/E_{eq\ max}$ と $d\varepsilon_{SA}$ の関係（図2）を用いて E_{eq} を次の式で補正した。

$$E_{eq}(d\varepsilon_{SA}=10^{-5}) = E_{eq}(d\varepsilon_{SA}) / [d\varepsilon_{SA} \text{に対するA}]$$

図3に示すのは、等方圧密での E_{eq} と拘束圧の関係である。この図から、ほぼ $E_{eq} \propto \sigma_v^{0.522}$

の関係があることが分かる。今回

の試験では、それぞれ別の供試体を用いて拘束圧1.2、1.8、2.2(kgf/cm²)で繰返し三軸試験も行った。図4は、繰返し試験の偏差応力と軸ひずみの関係の例である。載荷途中の微小な除荷・再載荷から E_{eq} の値を求めている。図5には、拘束圧がそれぞれ1.2、1.8、2.2(kgf/cm²)での $E_{eq}(d\varepsilon_{SA}=10^{-5})$ を隙間比の関数 $f(e)$ で除した値と σ_v の関係を示す。これらの図から、次のことが分かる。a) 側圧が一定でも σ_v

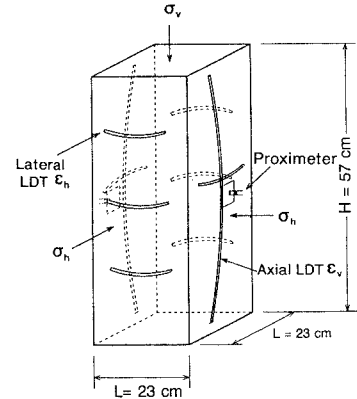


図1 三軸試験の概要

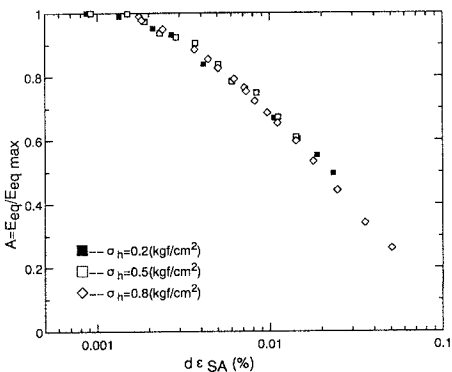


図2 $E_{eq} \sim E_{eq\ max}$

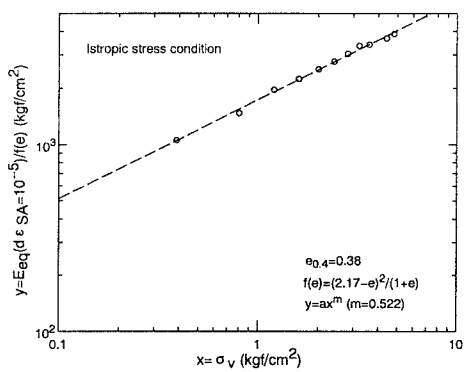


図3 $E_{eq}(d\varepsilon_{SA}=10^{-5})/f(e) \sim \sigma_v$

の増減に伴って E_{eq} は増減していることと、三つの試験での $E_{eq} \sim \sigma_v$ 関係が類似なことから、 E_{eq} は基本的に σ_v の関数である。b) $E_{eq} = a \sigma_v^m$ 関係における乗数 m は、等方圧密時の $m=0.522$ よりも三軸圧縮時では小さく、三軸伸張の時は大きい。また、同一の応力状態でも過去に受けたせん断ひずみが大きい程 E_{eq} が減少している傾向がある(図5-c参照:番号は図4に示す番号に対応)。

等方応力状態での $E_{eq}(d\varepsilon_{SA}=10^{-5})$ を非損傷状態のヤング率 E^* とする。それぞれの繰返し三軸試験中での E^* を「繰返し三軸試験開始時の $E_{eq,s}$ 」 $\times (\sigma_v/\text{繰返し三軸試験開始時の}\sigma_c)^{0.522}$ とした時の E_{eq}/E^* を求めたのが図6である。三軸伸張状態での E_{eq}/E^* の低下(損傷)が大きい。

4. 結論:

レキの等価

ヤング率は

基本的には

最大主応力

の関数であ

るが、等方

状態から離

れるに従つ

て、等方応

力状態より

も相対的に

低下する。

軸方向に締

め固めたた

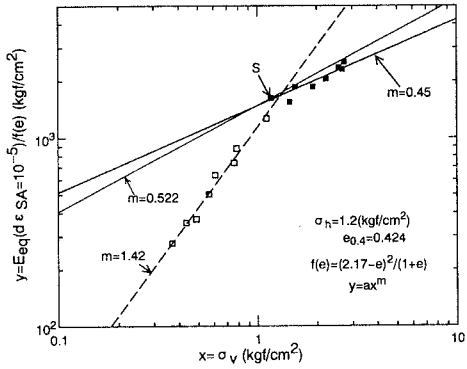
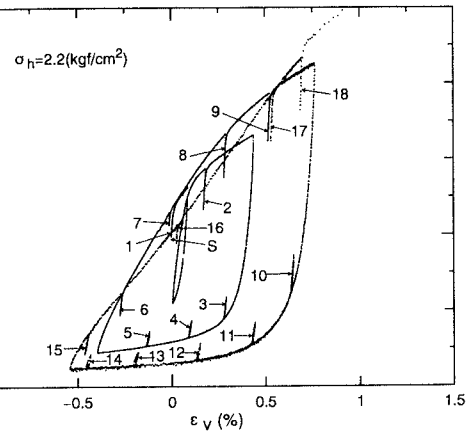
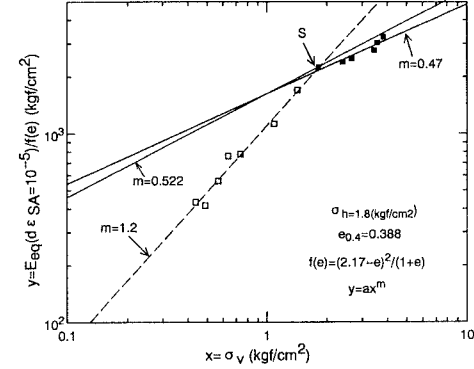
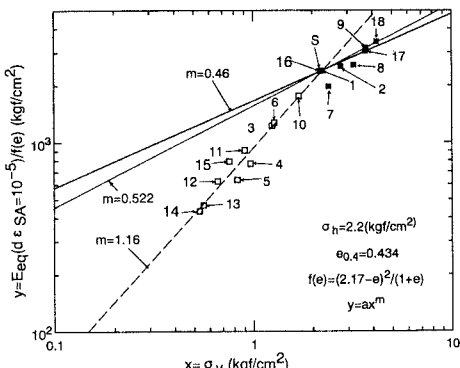
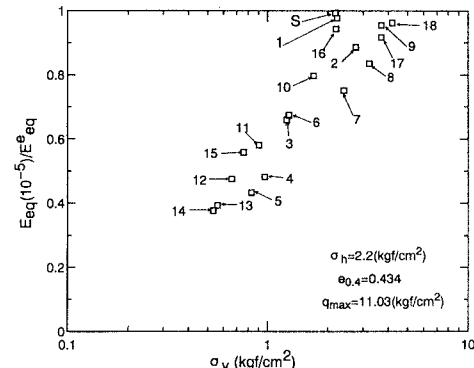
めか、三軸

伸張状態で

の低下率が

特に大きか

った。

図 5 a $E_{eq}(d\varepsilon_{SA}=10^{-5})/f(e) \sim \sigma_v$ 図 4 $q \sim \varepsilon_v$ 図 5 b $E_{eq}(d\varepsilon_{SA}=10^{-5})/f(e) \sim \sigma_v$ 図 5 c $E_{eq}(d\varepsilon_{SA}=10^{-5})/f(e) \sim \sigma_v$ 図 6 $E_{eq}(d\varepsilon_{SA}=10^{-5})/E_{eq}^* \sim \sigma_v$

参考文献: 1) 蒜関魯・龍岡文夫・佐藤剛司・木幡行宏・藤守真治(1995): 大型三軸試験による粗粒材の変形特性・異方性、第30回土質工学研究発表会投稿中。2) A. Flora, G. L. Jiang, Y. Kohata, F. Tatsuoka(1994), "Small strain behavior of a gravel along some triaxial stress paths", Proc. IS-Hokkido, vol. 1, pp. 279-285.